

## LAB 7 - EXTRAÇÃO DE CARACTERÍSTICAS

Desenvolva um programa no Matlab que faça a leitura de uma imagem (contendo regiões com formas de círculos, estrelas, pentágonos e quadrados) e seja capaz de classificar as diferentes regiões conforme indicado na Figura 1.

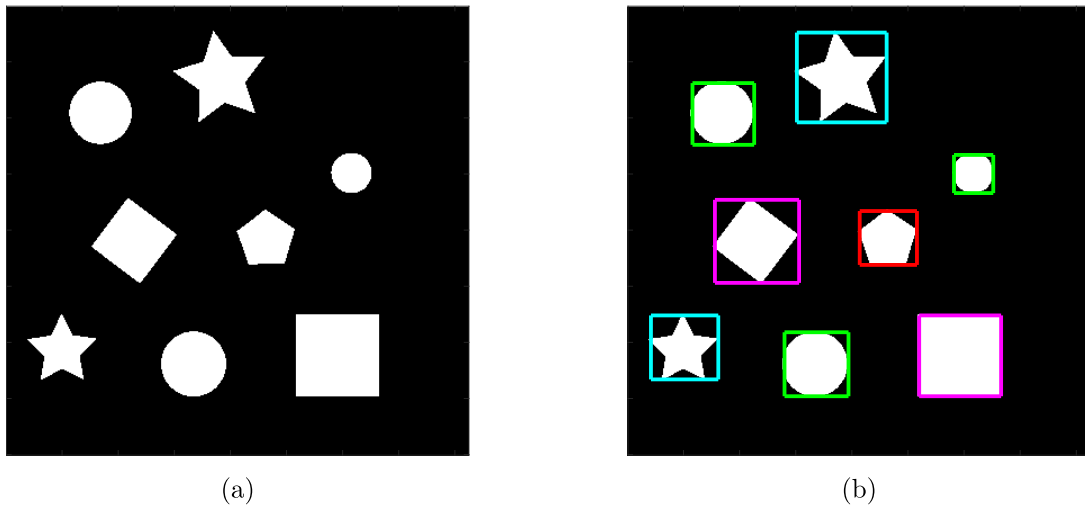


Figura 1: (a) Imagem de entrada. (b) Resultado esperado com classificação das regiões indicadas pela cor do *bounding box*.

Em particular, o reconhecimento das formas deve ser realizado através da análise de momentos das regiões de interesse. Especificamente, para cada região a ser classificada deve ser obtido um vetor descritor  $\phi$ , com elementos computados conforme equações (1)-(7). Na sequência, deve-se fazer a comparação do descritor  $\phi$  com vetores descritores de referência (os quais podem ser computados a partir de imagens padrões contendo apenas uma forma). O diagrama das etapas de reconhecimento é ilustrado na Figura 2.

### Observações:

1. Desenvolva uma função que retorne o vetor descritor  $\phi = [\phi_1 \ \phi_2 \ \phi_3 \ \phi_4 \ \phi_5 \ \phi_6 \ \phi_7]$  para uma dada região de interesse contida em uma imagem. Entrada: imagem binária, com região de interesse indicada por pixels com valor 1. Saída: vetor descritor  $\phi$ , com elementos calculados como

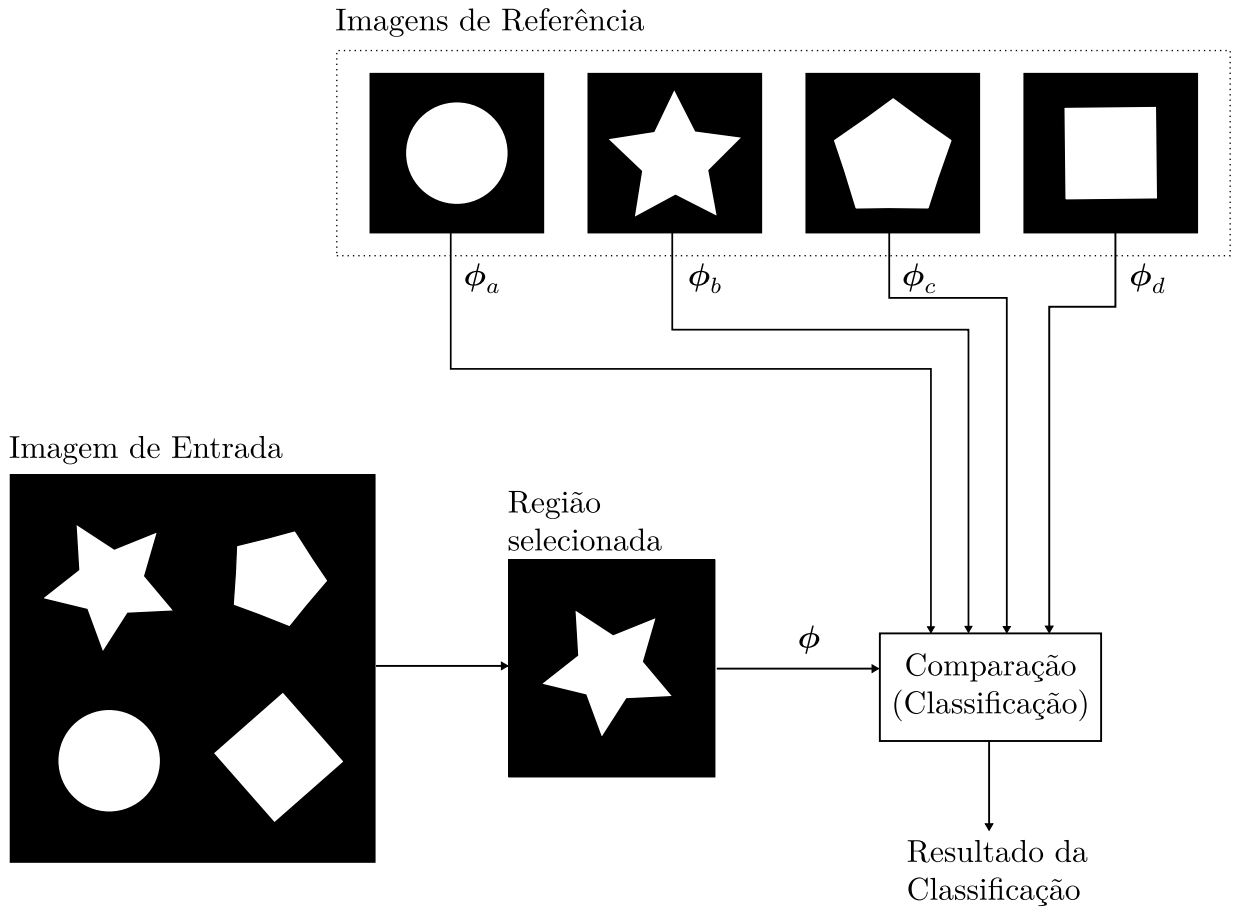


Figura 2: Diagrama das etapas de reconhecimento das formas geométricas contidas em uma imagem.

$$\phi_1 = \eta_{20} + \eta_{02} \quad (1)$$

$$\phi_2 = (\eta_{20} - \eta_{02})^2 + 4\eta_{11}^2 \quad (2)$$

$$\phi_3 = (\eta_{30} - 3\eta_{12})^2 + (3\eta_{21} - \eta_{03})^2 \quad (3)$$

$$\phi_4 = (\eta_{30} + \eta_{12})^2 + (\eta_{21} + \eta_{03})^2 \quad (4)$$

$$\begin{aligned} \phi_5 = & (\eta_{30} - 3\eta_{12})(\eta_{30} + \eta_{12})[(\eta_{30} + \eta_{12})^2 - 3(\eta_{21} + \eta_{03})^2] \\ & + (3\eta_{21} - \eta_{03})(\eta_{21} + \eta_{03})[3(\eta_{30} + \eta_{12})^2 - (\eta_{21} + \eta_{03})^2] \end{aligned} \quad (5)$$

$$\begin{aligned} \phi_6 = & (\eta_{20} - \eta_{02})[(\eta_{30} + \eta_{12})^2 - (\eta_{21} + \eta_{03})^2] \\ & + 4\eta_{11}(\eta_{30} + \eta_{12})(\eta_{21} + \eta_{03}) \end{aligned} \quad (6)$$

$$\begin{aligned} \phi_7 = & (3\eta_{21} - \eta_{03})(\eta_{30} + \eta_{12})[(\eta_{30} + \eta_{12})^2 - 3(\eta_{21} + \eta_{03})^2] \\ & + (3\eta_{12} - \eta_{30})(\eta_{21} + \eta_{03})[3(\eta_{30} + \eta_{12})^2 - (\eta_{21} + \eta_{03})^2] \end{aligned} \quad (7)$$

onde

$$\eta_{pq} = \frac{\mu_{pq}}{\mu_{00}^{\frac{\gamma}{2}}} \quad (8)$$

com  $\gamma = \frac{1}{2}(p + q) + 1$ , e

$$\mu_{pq} = \sum_{(u,v) \in \mathbf{I}} (u - u_c)^p (v - v_c)^q \mathbf{I}[u, v] \quad (9)$$

denotando o momento central de ordem  $(p + q)$ , com  $u_c$  e  $v_c$  representando as coordenadas do centróide da região. Sabe-se que o vetor  $\phi$  pode ser utilizado como um descritor/assinatura da forma da região. Ou seja, regiões com forma semelhante (independente da escala ou rotação) possuirão vetores  $\phi$  próximos.

2. Enviar relatório e código produzido via Moodle até às **23h55min do dia 29/05/2019**.